

С 341. 1г  
Н-489

ЛХУМ

P6 - 4591

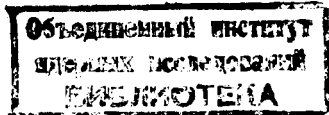
В.Нойберт, Х.Дростэ, Т.Морек, С.Хойнацкий,  
К.Александер, З.Вильгельми

ИССЛЕДОВАНИЕ СВОЙСТВ  
НЕЙТРОНОДЕФИЦИТНЫХ ЯДЕР ЦЕЗИЯ  
II часть. ИЗОМЕР  $^{122m_1}\text{Cs}$  ( $T = 0,35$  СЕК)  
 $\frac{1}{2}$

P6 - 4591

8046/1 np  
B.Нойберт, X.Дростэ, T.Морек, С.Хойнацкий,  
K.Александер, З.Вильгельми

ИССЛЕДОВАНИЕ СВОЙСТВ  
НЕЙТРОНОДЕФИЦИТНЫХ ЯДЕР ЦЕЗИЯ  
II часть. ИЗОМЕР  $^{122m_1}\text{Cs}$  ( $T = 0,35$  СЕК)  
 $\frac{1}{2}$



## 1. Введение

В работе /1/ опубликованы результаты исследований нового изомерного состояния цезия. На основе измеренных функций возбуждения этого изомера и перекрестных реакций авторы заключили, что изомер с большой вероятностью относится к неизвестному ранее изотопу  $^{122}\text{Cs}$ . Спектроскопические данные, полученные с помощью сцинтилляционного и кремниевого детекторов, указывали на то, что с изомерного состояния наблюдается M2-переход. Однако не представлялось возможным сделать заключение о природе этого изомера. Значительные усовершенствования экспериментальной техники, т.е. применение Ge(Li)-детектора и безжелезного тороидального  $\beta$ -спектрометра на пучке тяжелых ионов циклотрона У-300 дали возможность подробнее исследовать этот изомер. Изучение именно этого ядра крайне интересно, потому что по расчетам Арсеньева, Собичевского и Соловьева /2/ оно должно характеризоваться отрицательной деформацией.

## 2. Экспериментальные результаты исследований

изомера  $^{122\text{m}1}\text{Cs}$  ( $T_{1/2} = 0,35$  сек)

Типичный  $\gamma$ -спектр, полученный при облучении мишени  $^{113}\text{In}$  (степень обогащения 66%) ускоренными ионами  $^{12}\text{C}$  с энергией 68 Мэв, а также мишени  $^{109}\text{Ag}$  (степень обогащения 97%) ионами  $^{16}\text{O}$  с энергией 94 Мэв, показан на рис. 1. В отличие от старого сцинтилляционно-

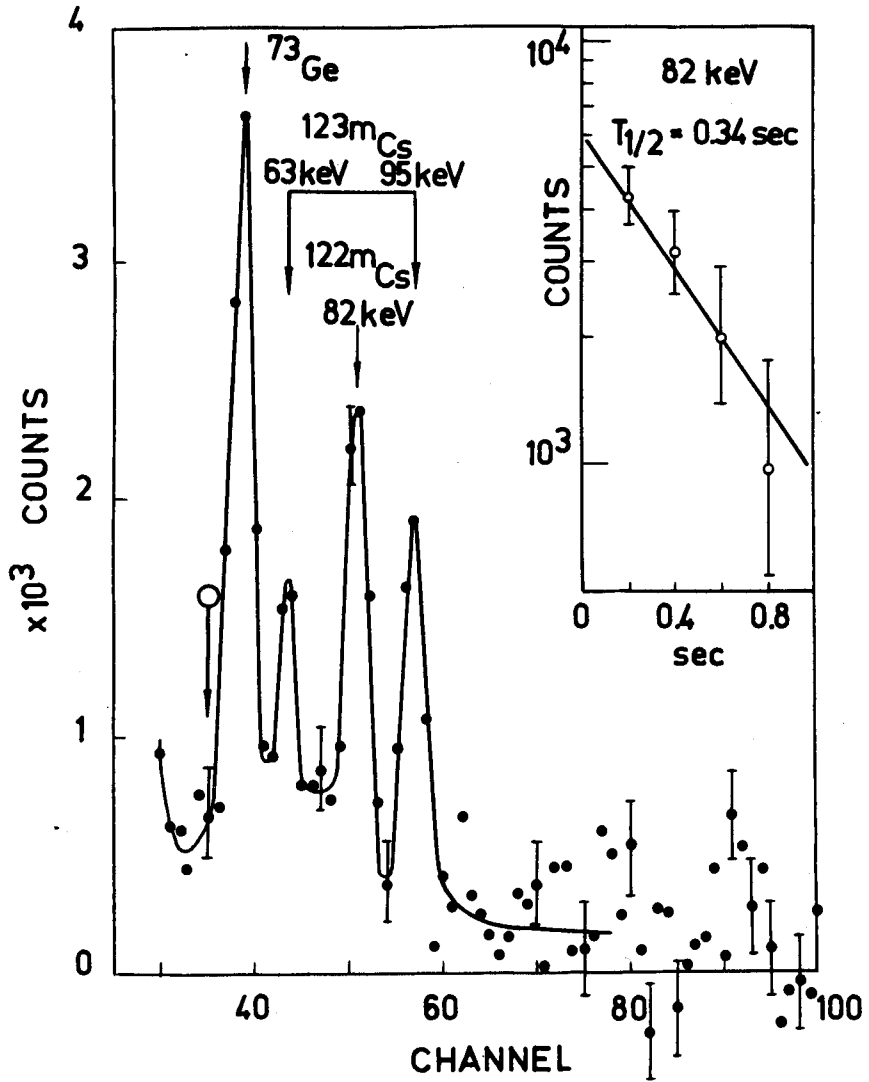


Рис.1. Гамма-спектр  $^{122m}\text{Cs}$ , полученный в реакции  $^{113}\text{In}(\text{C}, 3n)^{122}\text{Cs}$ . Толщина мишени  $\approx 8 \text{ mg} \cdot \text{cm}^{-2}$ , степень обогащения - 66%. Спектр измерен  $\text{Ge}(\text{Li})$ -детектором с объемом 4,5 см<sup>3</sup>. Время облучения: 0,52 сек, задержка от конца облучения до начала измерения: 24,7 мсек, измерение спектров проводилось в 8 плоскостях по 0,2 сек каждая. Показанный спектр представляет разницу (1,+2.) - (7,+8.) плоскостей. Знак  $\oplus$  указывает на место нахождения искомой линии  $E_\gamma = 47$  кэв.

го спектра в нем наблюдаются вместо широкого распределения при энергии  $98 \pm 5$  кэв три гамма-линии с энергиями 63, 82 и 95 кэв, соответственно. (Мы не считаем линию с энергией  $E_\gamma = 54$  кэв и  $T_{1/2} = 0,5$  сек, которая возникает в  $\text{Ge}(\text{Li})$ -детекторе вследствие реакции  $^{73}\text{Ge}(n, n')^{73m}\text{Ge}$ ). Идентификация этих трех линий проводилась по периодам полураспада и функциям возбуждения. Линии с энергиями  $E_\gamma = 63$  кэв и  $E_\gamma = 95$  кэв распадаются с периодом полураспада  $T_{1/2} = 1,55 \pm 0,15$  сек. Их функция возбуждения в случае реакции  $^{109}\text{Ag}(\text{O}, xn)^{127m}\text{Cs}$  резко отличается от функции возбуждения линии с энергией  $E_\gamma = 82$  кэв (рис. 2). Измеренный по линии  $E_\gamma = 82$  кэв период полураспада составляет  $T_{1/2} = (0,34 \pm 0,08)$  сек. Это значение отличается от периода полураспада  $T_{1/2} = (0,50 \pm 0,05)$  сек, данного в работе /1/. Отклонение обусловлено тем, что при облучении мишени  $^{113}\text{In}$  всегда образуется на примесях  $^{115}\text{In}$  (в реакции  $^{115}\text{In}(\text{C}, 4n)^{123}\text{Cs}$ ) 1,6-секундный изомер  $^{123m}\text{Cs}$ , который дает вклад в  $\gamma$ -спектр. Ввиду этих обстоятельств мы вновь определили с помощью чистой мишени  $^{109}\text{Ag}$  (степень обогащения 97%) в реакции  $^{109}\text{Ag}(\text{O}, xn)^{121m}\text{Cs}$  массовое число изомера с  $T_{1/2} = 0,34$  сек (рис.2). Положение максимума функции возбуждения этого изомера совпадает с максимумом функции возбуждения основного состояния  $^{123}\text{Cs}$ . По положению максимума получаются следующие характерные соотношения Александера и Симонова /3,4/

$$x = 4 : \quad \frac{\epsilon_4}{4} = 9,9 \pm 0,7 \text{ Мэв}$$

$$x = 5 : \quad \frac{\epsilon_5}{5} = 5,7 \pm 0,6 \text{ Мэв}$$

$$x = 6 : \quad \frac{\epsilon_6}{6} = 3,2 \pm 0,5 \text{ Мэв}.$$

По этим данным  $\gamma$ -линию  $E_\gamma = 82$  кэв мы можем приписать изотопу  $^{122}\text{Cs}$ . Этот результат находится в согласии с относительным ходом функции возбуждения изомера  $^{123m}\text{Cs}$  и подтверждает вывод, что мы имеем дело с изомером  $^{122m}\text{Cs}$ .

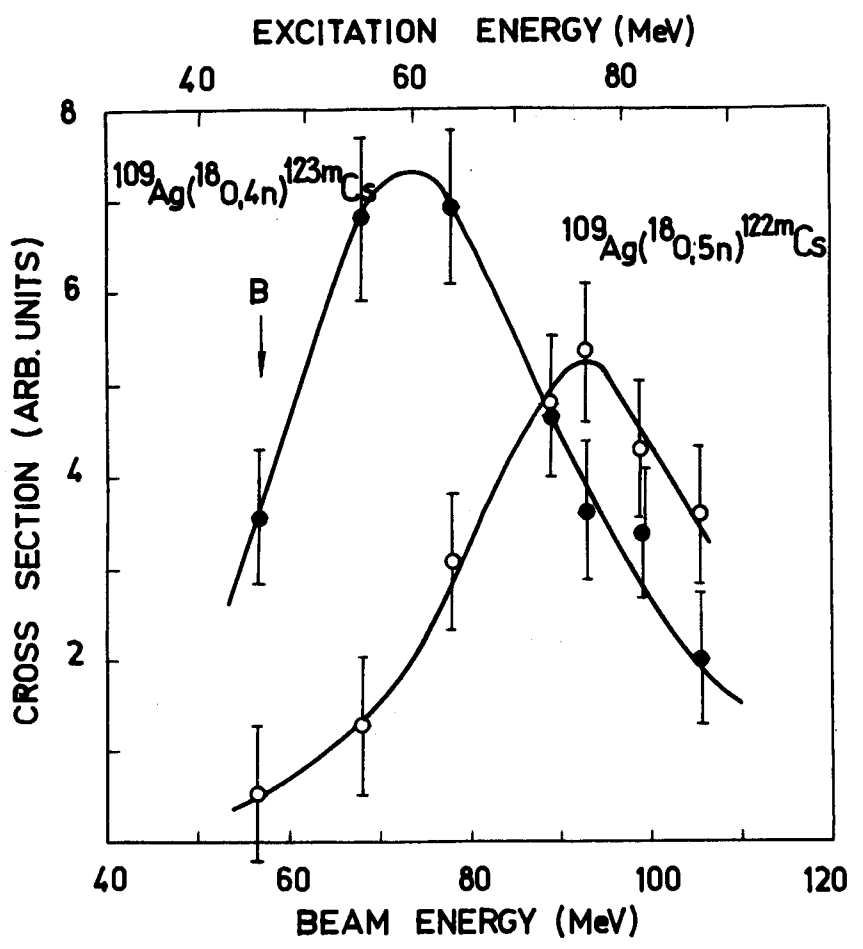


Рис.2. Функция возбуждения изомера  $^{123m}\text{Cs}$  в реакции  $^{109}\text{Ag}(^{18}\text{O}, 4\text{n})^{123m}\text{Cs}$ . Толщина мишени Ag  $4 \text{ мг} \cdot \text{см}^{-2}$  (на подложке из Al толщиной  $2,7 \text{ мг} \cdot \text{см}^{-2}$ ). Al является сборником ядер отдачи. Степень обогащения изотопа  $^{109}\text{Ag}$  97%.

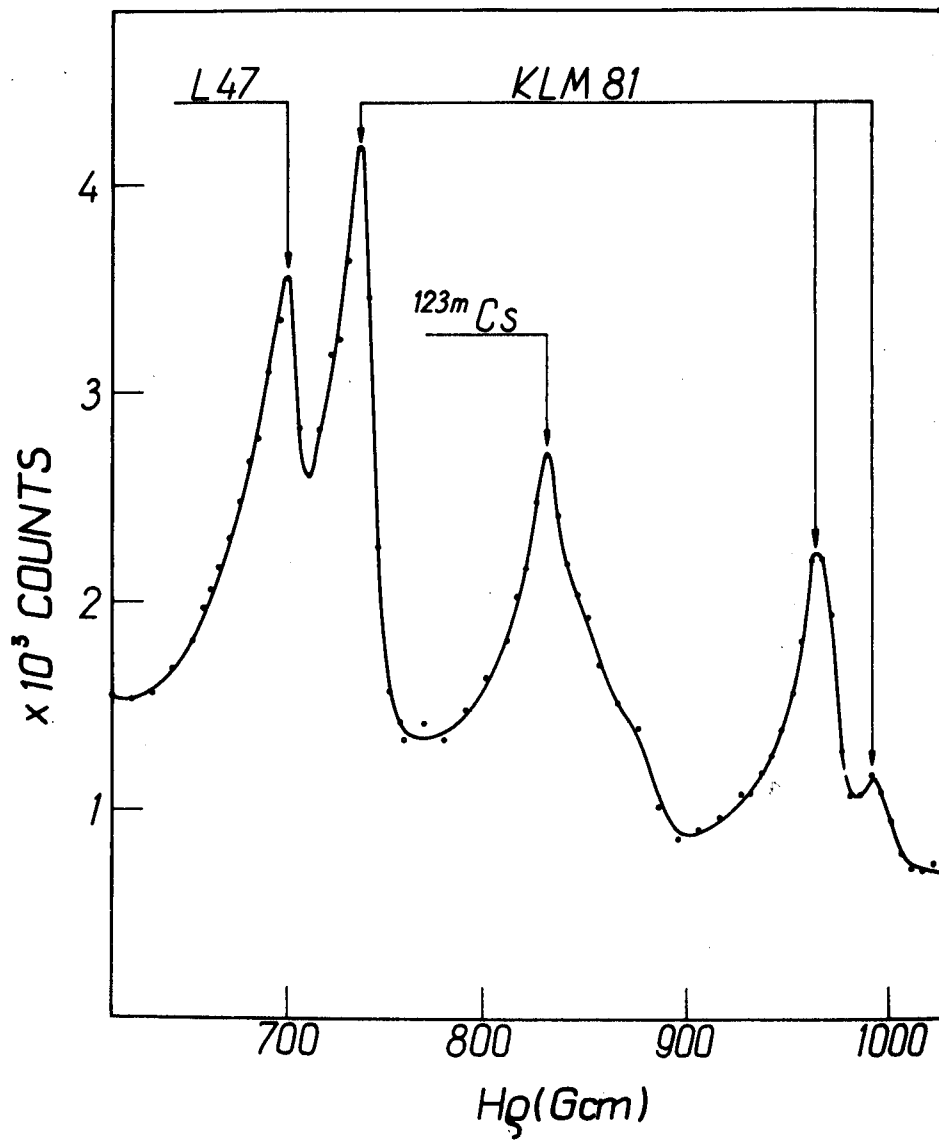


Рис.3. Спектр конверсионных электронов  $^{122m1}\text{Cs}$ , измеренный на торoidalном  $\beta$ -спектрометре на пучке в реакции  $^{113}\text{In}(^{12}\text{C}, 3\text{n})^{122m1}\text{Cs}$ . Толщина мишени  $^{113}\text{In}$ :  $\approx 2,0 \text{ мг} \cdot \text{см}^{-2}$ ; степень обогашения - 68%.

Спектр конверсионных электронов изомера  $^{122m}\text{Cs}$  был исследован в диапазоне энергии от 32 до 153 кэв. На рис. 3 показан участок измеренного спектра, полученного в реакции  $\text{In}(\text{C}^{113}, 3n) \text{Cs}^{122m}$ . Кроме линий, принадлежащих изомеру  $^{122m}\text{Cs}$ , наблюдаются K-, L- и M-линии  $\gamma$ -перехода 81,5 кэв, а также линия E = 41,3 кэв. Сравнение экспериментального отношения K/L =  $1,6 \pm 0,5$  для перехода 81,5 кэв с теоретическими значениями (таблица 1) приводит к выводу, что мультипольность этого перехода либо E2, либо M2+ E3 (примесь E3 порядка 10%).

Таблица 1

Теоретические отношения K/L и периоды полураспада по Вайскопфу для разных мультипольностей перехода 81,5 кэв. Коэффициенты внутренней конверсии взяты из работы /5/

Мультипольность	E1	E2	E3	E4	M1	M2	M3	M4
$a_K/a_L$	7,2	1,7	0,28	0,06	7,4	4,4	1,66	0,6
$T_{1/2}$ (с.п.) (сек)	$4 \cdot 10^{-13}$	$8 \cdot 10^{-7}$	$9 \cdot 10^{-1}$	$8 \cdot 10^{-5}$	$1,5 \cdot 10^{-11}$	$2 \cdot 10^{-5}$	$23$	$4 \cdot 10^4$

Мультипольность M3 не имеет места, потому что теоретическое значение периода полураспада для одночастичного M3-перехода в 60 раз превышает экспериментальную величину. Для этих вариантов мультипольностей мы определили точно центр тяжести L-линий. Измеренное таким образом расстояние K- и L-линий  $\Delta E_{KL} = (30,6 \pm 1,0)$  кэв хорошо совпадает с ожидаемой величиной для атома цезия  $\Delta E_{KL}(\text{theor}) = 30,6$  кэв. Для атомов Xe и I соответствующие величины составляют  $\Delta E_{KL}(\text{Xe}) = 29,5$  кэв и  $\Delta E_{KL}(\text{I}) = 28,3$  кэв. Конверсионная линия с энергией  $E_{CE} = 41,3$  кэв не имеет соответствующей линии в  $\gamma$ -спектре. Чтобы доказать, что она относится к изомеру  $^{122m}\text{Cs}$ , мы измерили и сравнили для линий  $E_{CE} = 41,3$  кэв и  $E_{CE} = 45,5$  кэв (K81,5 кэв) периоды полураспада и функции возбуждения. В рамках экспериментальных погрешностей периоды полураспада обеих линий хорошо совпадают и дают среднее значение

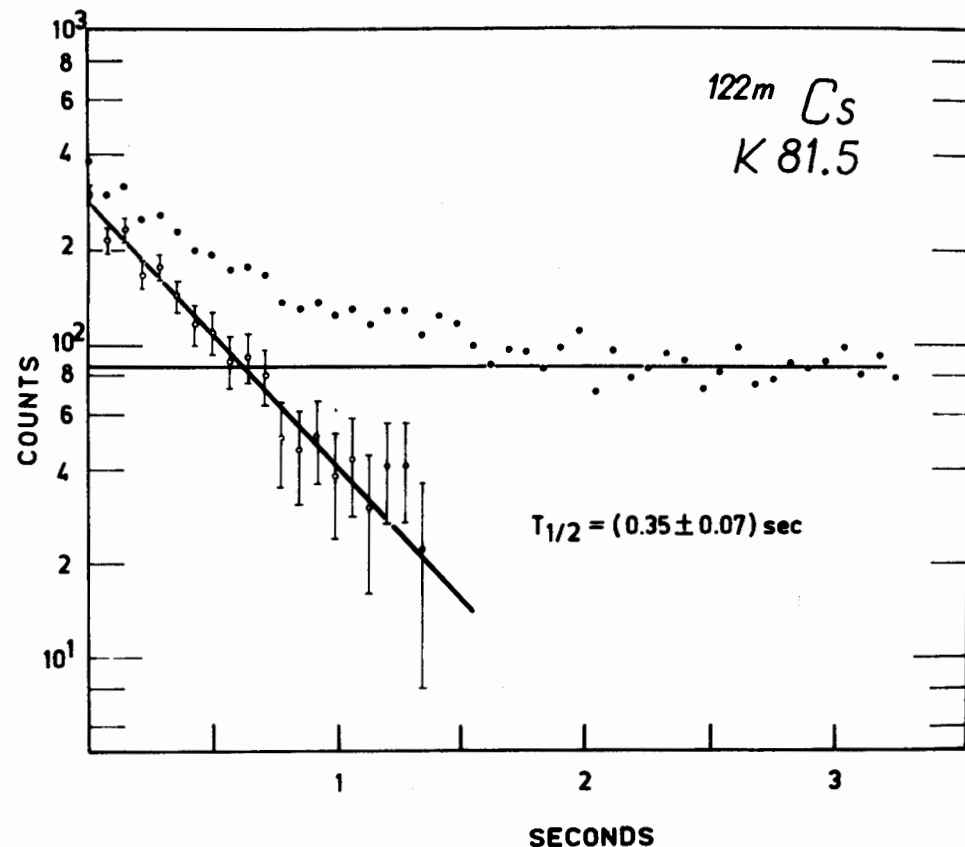


Рис.4. Кривая распада, измеренная по линии K81,5 кэв.

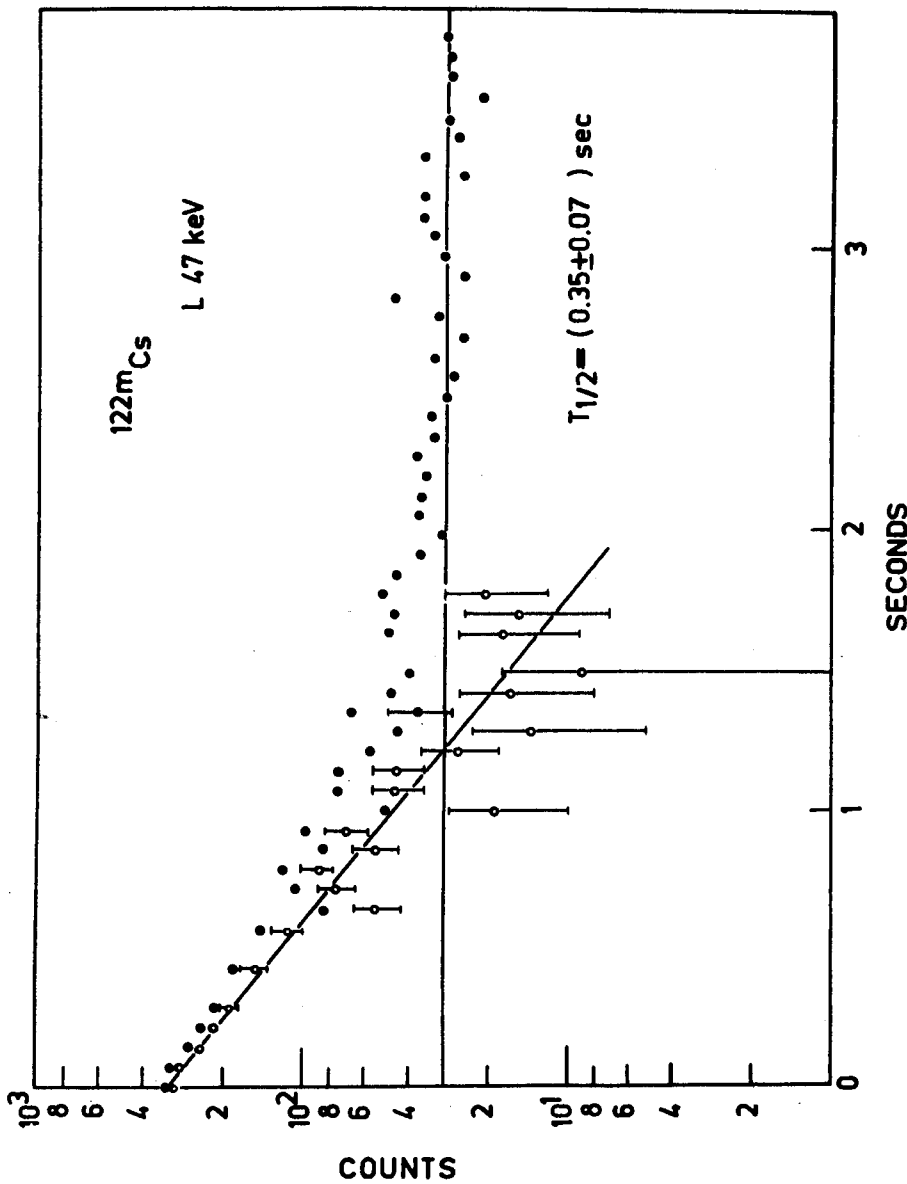


Рис.5. Кривая распада, измеренная по линии L 47 кэв.

10

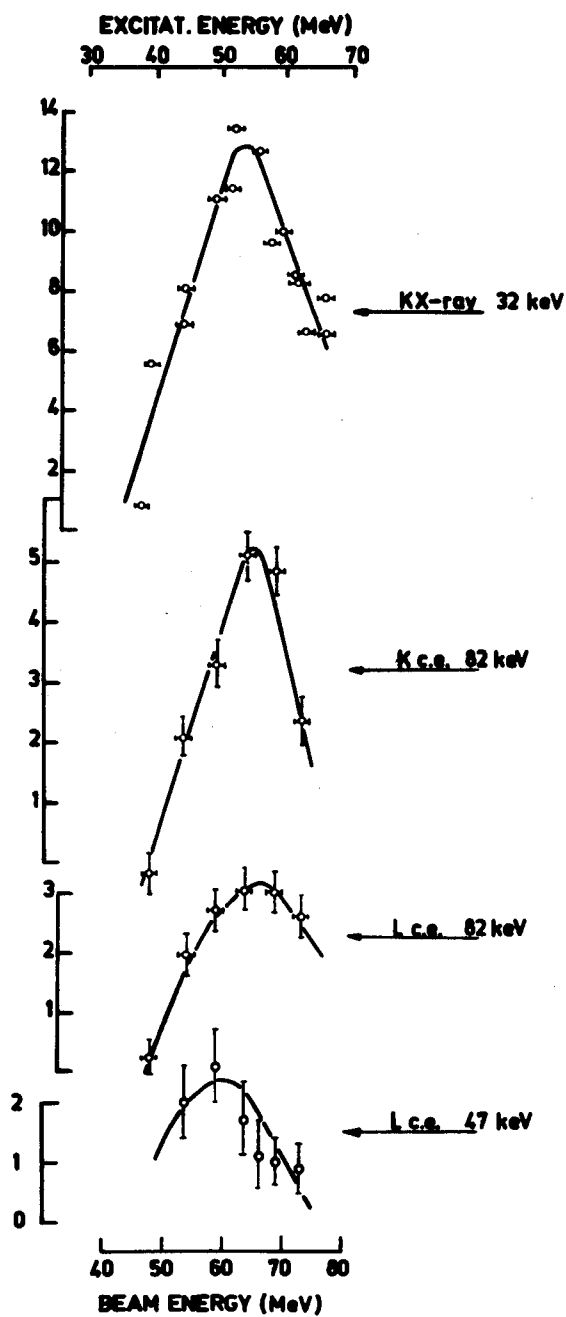


Рис.6. Функции возбуждения рентгеновского пика, линий K81,5 кэв, L 81,5 кэв и L 47 кэв, соответственно в реакции  $^{113}\text{In}(^{12}\text{C}, 3\text{n})^{122\text{m}}\text{Cs}$ .

$T_{1/2} = 0,35 \pm 0,07$  сек (см. рис. 4 и 5). Такой же результат получается при сравнении функций возбуждения линии электронов внутренней конверсии (рис. 6). (Отклонение функции возбуждения линии  $E_{CE} = 41,3$  кэв обусловлено трудностями измерения низкоэнергетических электронов). По этим данным мы заключаем, что линия  $E_{CE} = 41,3$  кэв возникает при разряде изомера  $^{122m}\text{Cs}$ . Тот факт, что не наблюдаются соответствующие "L" и "M" -линии, приводит к выводу, что эта линия представляет L -линию  $\gamma$ -перехода с энергией  $E_\gamma = 47$  кэв. То, что в  $\gamma$ -спектре не наблюдается соответствующей  $\gamma$ -линии, затрудняет определение мультипольности этого перехода. Из гамма-спектра мы можем оценить верхнюю границу отношения  $I_\gamma(47 \text{ кэв}) / I_\gamma(82 \text{ кэв}) < 0,35$ . С помощью этой величины можно определить нижнюю границу коэффициента  $a_L(47 \text{ кэв})$ . Кроме того спектр, полученный с NaI(Tl) -детектором, позволяет грубо оценить отношение интенсивностей рентгеновского пика ( $I_{KX}$ ) и линии  $E_\gamma = 82$  кэв ( $I_\gamma(82 \text{ кэв})$ ). Это отношение составляет в данном случае  $I_{KX}/I_\gamma(82 \text{ кэв}) > 16 \text{ x/}$ . Используя уравнение

$$I_{KX} = \omega_k [a_k(47 \text{ кэв}) \cdot I_\gamma(47 \text{ кэв}) + a_k(82 \text{ кэв}) \cdot I_\gamma(82 \text{ кэв})] ,$$

( $\omega_k$  - выход флюоресценции), мы можем оценить нижнюю границу коэффициента  $a_k(47 \text{ кэв})$ . Предполагая, что в первом варианте мультипольность перехода 81,5 кэв - E2, а во втором варианте - 90% M2 + 10% E3, мы получаем следующий набор данных (таблица 2).

Таблица 2

Переход	81,5 кэв	47 кэв
Мультипольность	E2	$a_k(47 \text{ кэв}) > 45; a_L(47 \text{ кэв}) > 3,7$
	90% M2 + 10% E3	$a_k(47 \text{ кэв}) > 6; a_L(47 \text{ кэв}) > 25$

Сравним эти данные для перехода  $E_\gamma = 47$  кэв с теоретическими значениями в таблице 3:

x/ В новых измерениях мы постарались уменьшить вклад от изомера  $^{123}\text{Cs}$  в сцинтилляционном спектре.

Таблица 3

Теоретические коэффициенты внутренней конверсии /5/ для перехода 47 кэв

Мультипольность	M1	M2	M3	M4	E1	E2	E3	E4
$a_k$	7,09	125,4	801	3657	1,5	8,33	28,1	85
$a_L$	0,94	36,7	1463	49677	0,22	17,8	1075	38081

Из этого сравнения следует, что независимо от мультипольности перехода  $E_\gamma = 81,5$  кэв мультипольности E1, M1 и, по-видимому, E2 для перехода  $E_\gamma = 47$  кэв невозможны. Все другие варианты, т.е. переходы с изменением спина больше единицы, разрешены. По измеренному периоду полураспада можно выбирать как самые вероятные варианты E3, M2 либо E3+M2.

Авторы выражают глубокую благодарность акад. Г.Н. Флерову за интерес к работе, Е. Левитовичу и У. Хагеманну за участие при измерениях и Ю. Юнкер за помощь при обработке данных.

#### Л и т е р а т у р а

1. К. Александр, В. Нойберт, Х. Роттер. Препринт ОИЯИ Р7-3185, Дубна 1967.
2. Д.А. Арсеньев, А. Собичевский, В.Г. Соловьев. Препринт ОИЯИ Р4-4054, Дубна 1968.
3. G.N.Simonoff, J.M.Alexander. Phys. Rev., 133, B93 (1964).
4. В. Нойберт, К. Александр. Препринт ОИЯИ Р7-3657, Дубна 1968.
5. R.S.Hager, E.C.Seltzer. Nuclear Data A4, 1 (1968).

Рукопись поступила в издательский отдел

7 июля 1969 года.